

# SQ-PUF: پروتکل احراز هویت مبتنی بر PUF مقاوم در برابر حملات یادگیری ماشین

سید ابوالفضل سجادی هزاوه و بیژن علیزاده

دارد. در صورتی که روش رمزنگاری پیچیده‌تری ارائه شود می‌توان احتمال درزکردن اطلاعات را در هنگام حمله کاهش داد. طراحی الگوریتم رمزنگاری پیچیده، علاوه بر مباحث سنگین ریاضیات، نیاز به توان مصرفی و فضای پیاده‌سازی بیشتر و در نتیجه هزینه سخت‌افزاری بیشتری دارد؛ البته احتمال حمله موفق و خوادن اطلاعات همچنان وجود دارد. دومین چالش امنیتی در پروتکل‌های ارتباطی، بحث احراز هویت (تعیین مبدأ داده ارسال شده) است که زمانی مطرح می‌شود که احتمال ارسال اطلاعات توسط مهاجم وجود داشته باشد. از این رو گیرنده پیام باید توانایی تشخیص فرستنده اصلی از مهاجم را داشته باشد؛ زیرا در غیر این صورت ممکن است توسط مهاجم مورد حمله قرار گیرد.

امروزه در حوزه امنیت سخت‌افزار مفهومی با عنوان<sup>۵</sup> PUF مطرح شده است [۱] که همانند اثر انگشت انسان برای مدارهای الکترونیکی عمل می‌کند. معماری ارائه شده برای PUF واسطه به تغییرات پارامترهایی همچون تأخیر مسیرهای، مقادیر خازن‌ها و نظایر آن در زمان فرایند ساخت مدارهای مجتمع بوده و با توجه به اینکه تغییرات فرایند ساخت به صورت کاملاً تصادفی تعیین می‌شوند، نحوه عملکرد PUF نیز منحصر به فرد و تصادفی است [۲]. به طور کلی می‌توان گفت که PUF یک فناوری امنیتی در حوزه سخت‌افزار است که قابل استفاده در دو مبحث مهم تولید کلید و احراز هویت بدون نیاز به ذخیره‌سازی اطلاعات خاصی در حافظه سیستم می‌باشد. از این معماری می‌توان جهت جلوگیری از نمونه‌برداری غیرمجاز مدارهای مجتمع و همچنین تولید کلید برخط و مقاوم در برابر حملات تهاجمی بهره گرفت.

به بیان دیگر، PUF یکتابع فیزیکی غیرقابل همانندسازی است که به ازای یک ورودی داده شده، یک خروجی یکتا و تصادفی را تولید می‌کند. به هر جفت ورودی داده شده و خروجی یکتا و تصادفی تولید شده، جفت چالش-پاسخ<sup>۶</sup> (CRP) گفته می‌شود. مثال ساده‌ای از جفت چالش-پاسخ در شکل ۱ آمده که مقدار ۰۰۱ به عنوان چالش منجر به پاسخ ۱ خواهد شد. هر بیت چالش دو مسیر را از طریق مالتی‌پلکسرها می‌سازد که به صورت همزمان ایجاد می‌شوند و پاسخ بر اساس مقایسه بین مسیرهای تأخیر و توسط داور مشخص می‌گردد. بدین صورت می‌توان پاسخ‌های n بیتی را با n بار تکرار این مدار و یا با استفاده از n چالش مختلف به دست آورد. این تابع فیزیکی برای هر سیستم الکترونیکی متناسب با ویژگی‌های فیزیکی در نظر گرفته شده، به صورت متفاوتی تولید گردیده و به دلیل ویژگی‌های غیرقابل تکرار و غیرقابل پیش‌بینی به عنوان یک ابزار

چکیده: توابع غیرهمسان فیزیکی (PUF) سخت‌افزاری را برای تولید الگوبی منحصر به فرد از چالش-پاسخ با اهداف احراز هویت و رمزگذاری ارائه می‌دهند. یکی از ویژگی‌های مهم در این مدارها غیرقابل پیش‌بینی بودن است؛ به این معنی که یک مهاجم نمی‌تواند پاسخ‌های آینده را از مشاهدات قبلی پیش‌بینی کند. با این حال نشان داده شده که الگوریتم‌های یادگیری ماشین، تهدیدی قابل توجه برای PUF‌ها هستند؛ زیرا آنها قادر به مدل‌سازی دقیق رفتار PUF می‌باشند. در این مقاله، ما تهدیدات امنیتی PUF را تحلیل و یک روش احراز هویت مبتنی بر PUF به نام SQ-PUF را ارائه می‌کنیم که می‌تواند در برابر حملات یادگیری ماشین مقاومت خوبی از خود نشان دهد. توانایی شبیه‌سازی یا پیش‌بینی آن را با مهیه‌سازی همبستگی بین جفت‌های چالش-پاسخ‌ها دشوار کردیم. نتایج تجربی نشان می‌دهند که برخلاف PUF‌های موجود، حتی با مجموعه‌ای از داده‌های بزرگ هم نمی‌توان به مدل SQ-PUF حمله موفقی داشت و بیشترین دقیقت پیش‌بینی ۵۳٪ است که نشان دهنده غیرقابل پیش‌بینی بودن این مدل می‌باشد. علاوه بر این، یکنواختی و یکتا بیان در این مدل تقریباً با مقدار ایده‌آل در A-PUF یکسان باقی مانده است.

**کلیدواژه:** اینترنت اشیا، یادگیری ماشین، احراز هویت، امنیت شبکه، توابع غیرهمسان فیزیکی.

## ۱- مقدمه

در عصر حاضر، پیشرفت پروتکل‌های ارتباطاتی<sup>۷</sup> در مدارهای الکترونیکی و همچنین افزایش استفاده از اینترنت اشیا بر اهمیت بحث انتقال داده و امنیت آن در ارتباطات بین دو دستگاه افزوده است. دلایل اهمیت این موضوع را می‌توان پیشرفت روزافزون و افزایش تعداد دستگاه‌ها برشمرد. به طور کلی، امنیت پروتکل‌های ارتباطی شامل دو قسمت یکپارچگی داده<sup>۸</sup> و احراز هویت<sup>۹</sup> است. جهت حفظ یکپارچگی، داده ارسال شده با استفاده از روش‌های رمزنگاری<sup>۱۰</sup> امن می‌شود؛ بدین صورت که اگر مهاجم به کanal ارتباطی دسترسی پیدا کند، داده رمزنگاری شده نامفهومی را مشاهده می‌کند که توانایی برداشتن اطلاعات کمی از آن را بازنگری شد.

این مقاله در تاریخ ۲۳ بهمن ماه ۱۴۰۰ دریافت و در تاریخ ۱۸ اردیبهشت ماه ۱۴۰۲ بازنگری شد.

سید ابوالفضل سجادی هزاوه، دانشکده مهندسی برق و کامپیوتر، دانشکدگان فنی، دانشگاه تهران، تهران، ایران، (email: Sajadi@ut.ac.ir).

بیژن علیزاده (نویسنده مسئول)، دانشکده مهندسی برق و کامپیوتر، دانشکدگان فنی، دانشگاه تهران، تهران، ایران، (email: b.alizadeh@ut.ac.ir).

1. Communication Protocols

2. Data Integrity

3. Authentication

4. Cryptography Scheme

5. Physical Unclonable Function

6. Process Variation

7. Challenge Response Pair

شوند؛ در صورتی که PUF‌های قوی مانند Arbiter-PUF می‌توانند تعداد زیادی جفت چالش-پاسخ منحصر به فرد را تولید کنند. با این حال، PUF‌های قوی فعلی در برابر حملات یادگیری ماشینی (ML) آسیب‌پذیر هستند [۱۹] و مهاجمان می‌توانند تعداد معینی جفت چالش-پاسخ را از کانال ارتباطی جمع‌آوری کرده تا ساختار PUF را مدل‌سازی کنند [۱۳] و [۲۰].

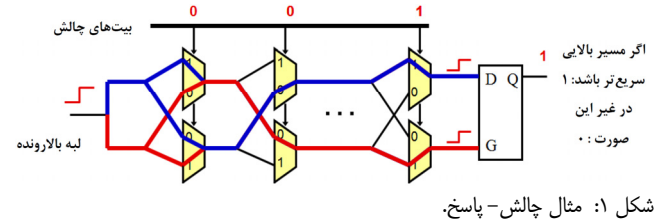
یک مدار PUF با  $n$  بیت چالش و یک بیت پاسخ در شکل ۲ نشان داده شده است. وقتی چالش روی ورودی قرار می‌گیرد پاسخ در هر مرحله از دو مسیر منتقل می‌شود. چالش‌های ورودی تعیین می‌کنند که مالتی‌پلکسرا کدام مسیر را برای انتقال به خروجی انتخاب کنند. در انتهای یک داور مانند یک فلیپ‌فلاپ نوع D با توجه به زمان رسیدن سیگنال هر دو مسیر، وضعیت خروجی را انتخاب می‌کند؛ به این معنی که اگر سیگنال منتقل شده زودتر از لبه بالارونده کلاک به پایه D برسد، پاسخ یک و در غیر این صورت صفر است.

از آنجا که تأخیر هر کدام از مسیرها و مالتی‌پلکسرا، تحت تأثیر تعییرات مرحله ساخت می‌باشد، پیش‌بینی آنها قبل از تولید و مدل‌سازی آنها پس از تولید، کار بسیار سختی است. اما از آنجا که بخش‌های مختلف مالتی‌پلکسرا برای چالش‌های مختلف اشتراک گذاری می‌شوند، پس بین جفت چالش پاسخ‌های مختلف همبستگی وجود دارد و این یک موقعیت بسیار خوب برای حمله کننده است که به وسیله یادگرفتن این همبستگی‌ها مقادیر را پیش‌بینی کند.

نویسنده‌گان [۲۱]، جامع‌ترین الگوریتم‌های یادگیری ماشین (ML) را برای مدل‌سازی و حمله به PUF‌ها بررسی کردند و نیز توانسته‌اند تا با کمک روش رگرسیون لجستیک (LR) و  $39,2 \times 10^3$  جفت چالش-پاسخ در  $10,2$  ثانیه به دقت٪ ۹۹٪ از مدل‌سازی Arbiter PUF برسند. همچنین XOR-APUF با ۵ مرحله را با  $5 \times 10^3 \times 500$  جفت چالش-پاسخ بعد از گذشت  $19,36$  ساعت مدل‌سازی کردند. از سوی دیگر، نویسنده‌گان در [۲۲] چارچوب جدیدی را برای بهبود سرعت حمله به PUF‌ها با استفاده از تکنیک‌های یادگیری فعال ارائه کردند و نشان دادند که یادگیری فعال به طور قابل توجهی می‌تواند سرعت حمله به PUF‌ها را بهبود بخشد و نیز با بهره‌گیری از روش ماشین بردار پشتیبان (SVM) و یادگیری فعال، فقط با استفاده از  $200$  جفت چالش-پاسخ می‌توان به یک MUX-PUF با  $64$  مرحله مالتی‌پلکسر حمله موفق داشت. همچنین نتایج تجربی نشان داد که برای خطای پیش‌بینی زیر٪ ۴٪ به  $2790$  جفت چالش-پاسخ نیاز است که با روش یادگیری فعال به  $811$  جفت چالش-پاسخ کاهش می‌یابد. در واقع، بیشتر مدارهای PUF موجود با استفاده از تکنیک‌های یادگیری ماشین، مستعد مدل‌سازی حمله هستند. در [۲۳] امنیت ۲۱ پروتکل احراز هویت مبتنی بر PUF تجزیه و تحلیل گردید و مشکلات متعدد آنها نشان داده شد. همچنین نویسنده در [۲۴] در مورد توسعه حملات جعل هویت کارآمد در پنج پروتکل قوی احراز هویت مبتنی بر PUF Arbiter تحقیق کرد.

در طول دهه گذشته، ساختارهای مختلفی از PUF‌ها ارائه شده است که همه آنها به دنبال بهبود امنیت در بحث احراز هویت هستند. در ادامه، برخی از ایمن‌ترین مدل‌های PUF از جمله PUF slender [۲۵]، PUF Poly [۲۶]، PUF R [۲۷] و PUF OB [۲۸] توانند در مورد بروزی قرار گرفته‌اند و سپس یک مدل جدید برای حل امنیت مطرح شده است.

یکی از گونه‌های PUF که در [۲۵] معرفی شد، slender PUF نام دارد که از بیت‌های تصادفی استفاده می‌کند. به بیان دیگر، اگر در یک Arbitrer PUF تعداد  $m$  بیت پاسخ وجود داشته باشد، خروجی را می‌توان



شکل ۱: مثال چالش-پاسخ.

قوی برای احراز هویت، تشخیص اصالت و امنیت سخت‌افزاری مورد استفاده قرار می‌گیرد. مثلاً در یک سیستم تشخیص اصالت، PUF به عنوان یکتابع، جهت اطمینان از اینکه قطعه سخت‌افزاری اصلی استفاده شده و هر گونه جعل یا تقلیل در آن صورت نگرفته است می‌تواند به کار گرفته شود.

یکی از مهم‌ترین ویژگی‌های PUF، توانایی مقاومت در برابر حملات مختلف است [۳]. PUF‌ها با استفاده از خصوصیات فیزیکی سیستم برای حفظ امنیت سخت‌افزاری در مقابل حملات فیزیکی و نفوذ به سطح سخت‌افزار مورد استفاده قرار می‌گیرند.

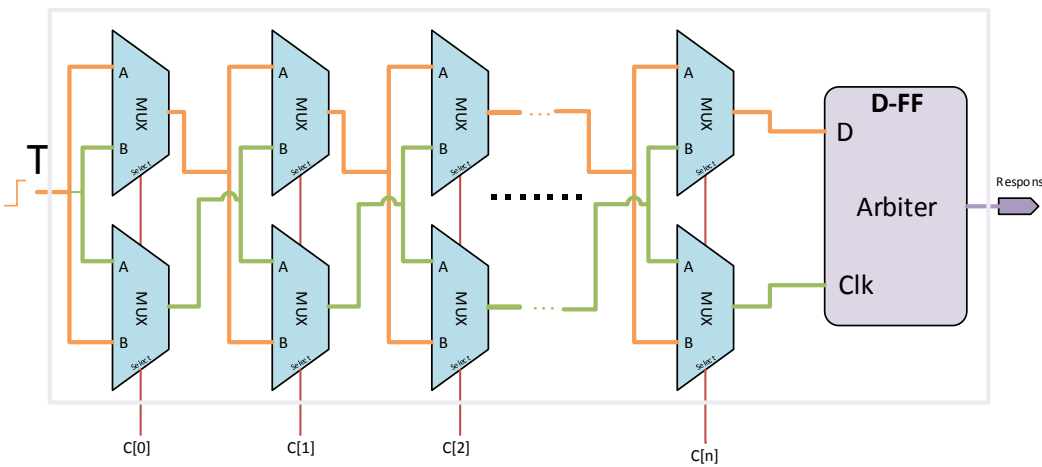
SQ-PUF در این مقاله، یک روش احراز هویت مبتنی بر PUF به نام ارائه خواهد شد که می‌تواند در برابر حملات یادگیری ماشین مقاومت خوبی از خود نشان دهد. این روش می‌توانی شیوه‌سازی یا پیش‌بینی خروجی PUF را با مهندسی همبستگی<sup>۱</sup> بین جفت‌های چالش-پاسخ دشوار کند. نتایج نشان می‌دهند که با اضافه کردن مازول SQ به ۸۰٪ بیت‌های ورودی (۲۵ بیت از ۳۲ بیت)، دقت حملات با روش یادگیری ماشین LR به ۱۴٪ کاهش می‌یابد. این دقت با استفاده از مدل‌های CRPs و OB-PUF حتی با  $95\%$  و  $85\%$  است. همچنین نتایج نشان می‌دهند که دقت حملات با روش یادگیری ماشین ANN به ۴٪ کاهش می‌یابد. این دقت با استفاده از مدل Poly-PUF حتی با CRPs کمتر به ترتیب  $95\%$  است.

این مقاله بدین صورت سازماندهی شده که در بخش دوم پیشینه پژوهش مورد بررسی قرار می‌گیرد. در بخش سوم پس از بررسی معماری مدل SQ-PUF پیشنهادی، مراحل ثبت نام<sup>۲</sup> و احراز هویت را به صورت مرحله به مرحله شرح می‌دهیم. در بخش چهارم پس از بررسی تأثیر تعداد مازول SQ بر مقاومت مدل، به مقایسه امنیت این مدل در مقابل با حملات پیچیده یادگیری ماشین با سایر مدل‌های مقاوم مانند PolyPUF و OB-PUF و RPUF می‌پردازیم و در انتهای پس از بررسی یکتایی<sup>۳</sup> و یکنواختی<sup>۴</sup> پاسخ مدل پیشنهادی، نتیجه‌گیری مقاله را خواهیم دید.

## ۲- پیشینه تحقیق

در طی چند دهه اخیر، مطالعات بسیاری بر روی PUF‌ها متتمرکز شده‌اند و ساختارهای PUF زیادی مانند [۴] Arbiter PUF، [۶] MC-PUF، [۹] Ring Oscillator (RO) PUF، [۷] RF-PUF و [۸] PUF پیشنهادی، [۱۱] و همچنین پروتکل‌هایی برای احراز هویت امن مانند [۱۲] PUF پیشنهاد شده‌اند. PUF‌های ذکر شده را می‌توان به دو دسته PUF‌های طبقه‌بندی کرد. PUF‌های ضعیف فقط چند جفت چالش-پاسخ را تولید می‌کنند که می‌توانند به عنوان کلید در سیستم‌های رمزگذاری استفاده

1. Correlation
2. Enrollment
3. Uniqueness
4. Uniformity



شکل ۲: مدار Arbiter PUF

یک مدل با الگوریتم رگرسیون لجستیک به دقت ۸۵٪ رسید. در مرحله بعدی با استفاده از این مدل به عنوان یک ابزار ابهام‌زدا اقدام به جمع‌آوری داده‌های بیشتر با فاصله همینگ کم نسبت به خروجی پیش‌بینی شده نمودند و به دقت بالای ۹۵٪ دست یافتند.

مدل RPUF [۲۷] یکی از امن‌ترین مدل‌های ارائه شده است که دو حالت کاری دارد. برای جلوگیری از حملات یادگیری ماشین، چالش دریافت‌شده را به صورت تصادفی معکوس می‌کند. در حالت کاری اول، تمام بیت‌های چالش دریافتی را معکوس می‌کند و یا بدون تغییر، انتقال می‌دهد که این عمل توسط یک TRNG انتخاب می‌شود. در حالت کاری دوم برای دستیابی به امنیت بیشتر در برابر حملات، TRNG به جای یک بیت تصادفی دو بیت تولید می‌کند که این دو بیت می‌تواند ۴ عملکرد مختلف داشته باشد: در حالت اول، چالش دریافت‌شده را بدون تغییر به خروجی انتقال می‌دهد. در حالت دوم، چالش دریافت‌شده را کاملاً عکس می‌کند و در دو حالت بعدی، بیت‌های نیمه بالایی یا نیمه پایینی چالش دریافت‌شده را عکس می‌کند. نویسنده‌گان ادعا کردند که مدل ارائه شده نمی‌تواند با دقت بیشتر از حدود ۷۵٪ مورد حمله قرار گیرد. البته در [۲۴] توسط یک استراتژی یادگیری جایگزین توأم‌ستند به دقت ۹۰٪ برستند؛ اما حملات دیگری نیز در [۳۰] روی این مدل انجام شده است.

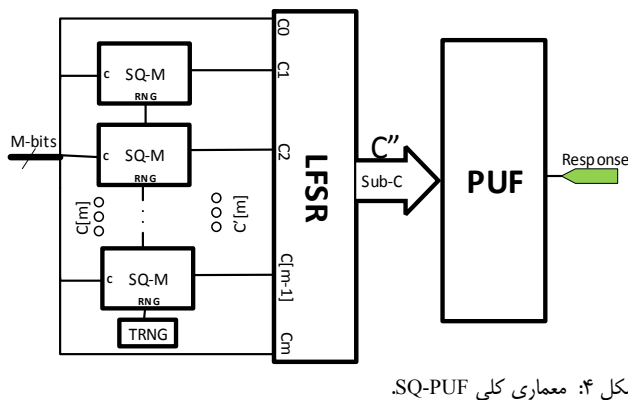
اکثر مدل‌های پیشنهادی دارای ضعف‌هایی در روند پنهان‌سازی رابطه بین چالش و پاسخ هستند. در این مقاله سعی شده که با وابسته‌سازی چالش‌ها به زمان و یکدیگر و همچنین اضافه کردن یک خاصیت تصادفی به آنها با قابلیت تشخیص جواب صحیح برای احراز هویت، به هدف افزایش مقاومت مدل در برابر حملات یادگیری ماشین دست پیدا کنیم. مهم‌ترین فرض مسئله این است که حمله‌کننده، اطلاعی از ساختار داخلی PUF ندارد.

### ۳- روند پیشنهادی احراز هویت (SQ-PUF) مبتنی بر PUF

هدف از ارائه مدل SQ-PUF، جلوگیری از استخراج رابطه همبستگی بین چالش و پاسخ توسط روش‌های یادگیری ماشین و مقاوم‌سازی مدل در برابر حملات مدل‌سازی می‌باشد؛ بدین صورت که پس از مقاوم‌سازی نیز سرور بتواند با استفاده از یک روش بازیابی، عملیات احراز هویت را انجام دهد. همبستگی بین چالش و پاسخ به معنی همبستگی بین خصوصیات فیزیکی خاص PUF و پاسخ تولیدشده به چالش خاص است. توجه شود که تعداد مالتی‌پلکسراها در مسیر، پارامترهای ترانزیستوری و

به صورت  $[r_1, r_2, \dots, r_m]$  نمایش داد که این خروجی در slender PUF به صورت  $[t_1, t_2, \dots, t_m]$  تغییر می‌کند. مقادیر  $t_i$  تا  $t_m$  تصادفی انتخاب می‌شوند. حال وقتی یک حمله‌کننده تعداد  $2 \times m$  بیت از پاسخ را به دست می‌آورد، نمی‌تواند بفهمد که کدام یک از بیت‌ها مربوط به پاسخ اصلی هستند؛ اما به هر حال [۲۹] با استفاده از یک استراتژی تکاملی، موفق به شکستن امنیت این PUF شده است. بنابراین این اقدامات برای جلوگیری از حملات مدل‌سازی یا حملات مبتنی بر یادگیری ماشین کافی نبوده است.

یکی از پروتکل‌های مطرح شده برای مقابله با حملات مدل‌سازی، PolyPUF می‌باشد [۲۶] که برای مقابله با حمله توسط یک TRNG عددی را به صورت تصادفی تولید و با چالش ورودی XOR می‌کند. پس از محاسبه پاسخ توسط  $n$  مدل مختلف A-PUF (که در اینجا تعداد بیت پاسخ است)، دوباره تمام پاسخ‌ها با مقدار تصادفی جدید تولید شده، XOR می‌شوند. تعداد بیت پیشنهادی برای عدد تصادفی ورودی ۲ و خروجی ۳ بیت و طول داده چالش پیشنهادی ۳۲ و ۶۴ بیت است؛ اما نویسنده‌گان درباره آنکه ۳۲ مضری از ۳۲ یا ۶۴ نیست، اظهار نظری نکردند. به هر حال نویسنده‌گان در [۲۴] با استفاده از دسته‌بندی داده‌ها توأم‌ستند به این مدل، حمله موفقی داشته باشند. به این صورت که ادعا شده اگر فاصله همینگ بین دو چالش متواالی یک باشد، در جایی که فاصله همینگ دو خروجی متناظر کمترین شود، نشانه این است که مقدار عدد تصادفی که با چالش و پاسخ XOR شده بین هر دو چالش ثابت مانده است. بدین صورت یک لیست از داده‌ها تشکیل و توسط یک شبکه با یک نورون تکی موفق به حمله با دقت بالای ۹۰٪ به این مدل شده است. یکی دیگر از مدل‌های مقاوم ارائه شده با نام OBPUF شناخته می‌شود که در [۲۸] معرفی گردیده و به وسیله بخش کنترل کننده چالش، مقدار چالش ورودی را تغییر می‌دهد. هر بار به صورت تصادفی یکی از الگوها توسط بخش فوق انتخاب می‌گردد و به ورودی اعمال می‌شود که چالش ورودی به صورت  $[C_1, C_2, \dots, C_n]$  یا  $[1, 0, 1, 0, C_1, C_2, \dots, C_n]$  تغییر می‌کند. نتایج نشان داده که پس از جمع‌آوری پاسخ‌ها و حمله توسط الگوریتم رگرسیون لجستیک با  $10^6$  داده نتوأم‌ستند به دقت بیشتر از ۷۲٪ دست پیدا کنند. البته این احتمال بسیار زیاد است که Arbiter PUF نظر مقادیر نامی یکسانی را برای همه پاسخ‌های مربوط به یک چالش خاص داشته باشد. مرجع [۲۴] به وسیله جدا کردن این مقادیر و آموزش



#### شکل ۴: معماری کلی SQ-PUF

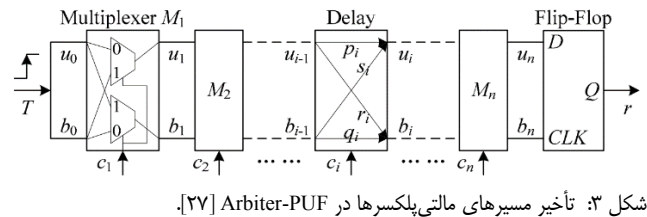
در این رابطه فرض کنید که برای یک جفت چالش- پاسخ معین، مقدار  $\bar{W}$  و  $r$  را می‌دانیم. با استفاده از رابطه  $\bar{W} \times \bar{\Phi} = 0$ ، بردار  $\bar{W}$  می‌تواند یک ابرصفحه<sup>۳</sup> جداگانه را تعیین کند که چالش‌هایی را که پاسخ آنها صفر می‌شوند از دیگر چالش‌ها جدا سازد. بدین ترتیب روش‌های یادگیری ماشین، پس از یافتن این ابرصفحه می‌توانند چالش‌ها را دسته‌بندی نمایند. از این رو در روش‌های مختلف جهت مقاوم سازی PUF‌ها سعی شده که ارتباط و همبستگی بین چالش- پاسخ را از بین ببرند. در روش‌هایی مثل XOR-PUF و OB-PUF چالش را مخفی ساختند؛ اما به هر حال توسط استراتژی‌هایی که قبلاً ذکر شد، برخی توانستند به این ابرصفحه دست یابند.

هدف ما در این مقاله، ارتباط بین چالش و پاسخ را مخفی کنیم. به عبارت دیگر وابستگی زمانی، ارتباط بین چالش و پاسخ را مخفی کنیم. به عبارت دیگر هدف، جلوگیری از یادگرفتن ارتباط بین چالش‌ها و پاسخ‌ها و پنهان کردن ابرصفحه از روش‌های یادگیری ماشین است. برای این منظور باید فاصله بین چالش‌ها را زیاد و از چالشی استفاده کنیم که در داخل PUF به وجود آمده است. همچنین با وایسته کردن چالش‌ها به زمان می‌توان از پی‌بردن حمله کننده به آنها جلوگیری نمود.

در شکل ۴ یک مدل کلی از SQ-PUF با  $m$  بیت چالش نشان داده شده است. کلمه SQ از Sequence یا توالی گرفته شده که به معنی ایجاد یک توالی بین چالش‌های ورودی است. این مژوول‌ها را می‌توان به همه (۱۰۰٪) یا فقط به بخشی از چالش‌ها تخصیص داد. پس از تغییر چالش‌ها به وسیله مژوول‌های SQ، آنها به یک LFSR وارد گردیده تا زیرمجموعه‌هایی از این چالش برای تولید بیت‌های مختلف پاسخ تولید شوند.

۱-۳ مازول SQ

همان طور که قبلًاً اشاره شد می‌توان با دو چالش نزدیک به هم، دو پاسخ نزدیک به هم دریافت کرد. حمله کننده می‌تواند از این همبستگی، استفاده و با یک شبکه عصبی، تابع داخلی PUF را بازیابی کند. برای جلوگیری از این اتفاق باید فاصله بین چالش‌ها را زیاد کرد. همچنین با واپسی کردن چالش‌ها به زمان می‌توان از پیبردن حمله کننده به آنها جلوگیری نمود. ایده اصلی SQ-PUF، واپسی کردن دو چالش متواتی به یکدیگر است؛ به عبارت دیگر در این مدل PUF، پاسخ متأثر از دو ویژگی است که شامل ترتیب واردشدن چالش‌ها و عدد تصادفی تولیدشده توسط RNG می‌باشد. این مازلول می‌تواند به همه و یا فقط به برخی از چالش‌ها اعمال شود. این بیت‌ها در زمان ساخت PUF به صورت تصادفی، انتخاب



شکل ۳: تأخیر مسیرهای مالتی‌پلکسرا در Arbiter-PUF [۲۷].

سایر تغییرات در فرایند ساخت، همه بر پاسخ تولیدشده توسط PUF تأثیر دارند و بنابراین ارتباط نزدیک دو چالش با یکدیگر می‌تواند به ارتباط نزدیک دو پاسخ منجر شود. مثلاً در نظر بگیرید که نمونه ارائه شده در شکل ۱ از روی چالش ۰۰۱ پاسخ ۱ را تولید کرده است. به کمک چهار مدار متواالی مشابه، پاسخ چهاربیتی به چالش ۰۰۱ تولید خواهد شد که برابر با ۱۱۰۱ است. حال اگر با چالش ۱۰۱ پاسخ ۱۰۰۱ و با چالش ۱۱۱ پاسخ ۱۰۱ تولید شوند، احتمالاً اولین بیت چالش با دو بیت اول پاسخ، همبستگی دارد. توجه شود که وضعیت وقتی بدتر خواهد شد که تعداد بیت‌های پاسخ را افزایش دهیم؛ به عبارت دیگر، اگر از  $n$  مدار متواالی برای تولید  $n$  بیت پاسخ استفاده شود، همبستگی بسیار بیشتر خواهد شد. برخلاف Arbiter PUF که فقط یک بیت برای پاسخ دارد، در بسیاری از کاربردها به چندین بیت پاسخ نیاز است. برای این مسئله دو راه حل وجود دارد [۹] و [۱۴]. اولین راه این است که مانند مدل‌هایی مثل PolyPUF یا OBPUF از تعداد  $n$  عدد Arbiter PUF موزایی برای تولید  $n$  عدد پاسخ مختلف استفاده کنیم. اما با توجه به اینکه بسیاری از کاربردها مانند احراز هویت در سیستم‌های اینترنت اشیا (IoT) نیازمند یک سخت‌افزار با منابع کم است، از این رو در این مقاله با استفاده از روش دوم یعنی استفاده از یک LFSR و یک Arbiter PUF طراحی خود را انجام دادیم. در این روش با استفاده از یک LFSR از چالش ورودی به تعداد بیت مورد نیاز پاسخ، زیرچالش را تولید و به A-PUF اعمال می‌کنیم.

همان طور که در شکل ۲ توضیح داده شد، یک Arbiter-PUF بر اساس بیت‌های چالش مشخص شده، مسیرهای مختلفی از MUX‌ها را طی کرده و در نتیجه پاسخ‌های مختلفی ایجاد خواهد کرد. اگر مسیری که به پایه D فلیپ‌فلاب ختم می‌شود زودتر بررسد، داور (فلیپ‌فلاب) خروجی را یک کرده و در غیر این صورت خروجی صفر می‌شود. این کار همبستگی زیادی ایجاد می‌کند که توسط الگوریتم‌های یادگیری ماشین قابل استفاده در جهت آموزش یک شبکه عصبی است.

$$\begin{aligned} r &= \theta(\overline{W} \times \overline{\Phi}) \rightarrow \theta(x) = \begin{cases} \cdot & , x < \cdot \\ \backslash & , x \geq . \end{cases} \\ \overrightarrow{W} &= (w_1, \dots, w_{n+1}) \rightarrow w_i = \frac{\delta_{i-1}^+ + \delta_{i-1}^- + \delta_i^+ - \delta_i^-}{\gamma} \quad (1) \\ \overrightarrow{\Phi} &= (\phi_1, \dots, \phi_n, \gamma) \rightarrow \phi_l = \prod_{i=l}^n (\gamma - \gamma c_i) \\ , \quad \delta_i^+ &= q_i - p_i \quad , \quad \delta_i^- = r_i - s_i \end{aligned}$$

**Algorithm 1 Authentication ( $\infty$  times)**

```

1:  $C \leftarrow Server$   $\triangleright \leftarrow Random - number - Generation(m)$ 
2:  $C \leftarrow Server$ 
3:  $n = TRNG()$ 
4:  $C' = D_{FF}(C)$ 
5:  $C'' = C' \text{XOR} n$ 
6:  $C^\gamma_{(1,2,\dots,\alpha)} = LFSR(C')$ 
7: for  $j = 1, 2, \dots, \alpha$  do
8:    $r_{(j)} = \text{ArbiterPUF}(C^\gamma_j)$ 
9: end for
10:  $r_{(j)} \rightarrow Server$ 



---


11: Recive  $r \leftarrow PUF$   $\triangleright Server$ 
12: if Firstsession then  $C_{old} \leftarrow Save Challenge$   $\triangleright NotValid$ 
13: else
14:    $C' = Sim(D_{FF}(C))$ 
15:   for  $n = 0, 1$  do
16:      $C'_n = C' \text{XOR} n$ 
17:      $r_n = Predict(C'_n)$ 
18:   end for
19:    $h = \min(HD(r, r_0), HD(r, r_1))$ 
20:   if  $h > \epsilon$  then Reject
21:   else
22:      $C_{old} \leftarrow Save Challenge$ 

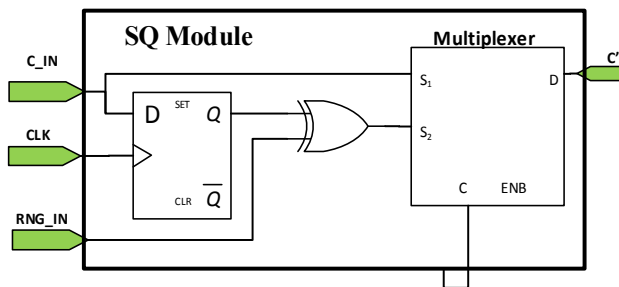
```

شكل ۶: الگوریتم مرحله احراز هویت SQ-PUF

### ۳-۳ مرحله احراز هویت

در الگوریتم شکل ۶ مراحل بخش احراز هویت نشان داده شده است. هر بار که سرور نیاز به احراز هویت داشته باشد با طی کردن این مراحل می‌تواند روند احراز هویت را به خوبی انجام دهد. همچنین این مراحل نشان‌دهنده آن است که یک روند بازیابی قابل اجرا برای مدل SQ-PUF ارائه شده است. در این بخش هیچ دسترسی به مالتیپلکسرهای داخل مازول SQ وجود ندارد. در ابتدای یک نشست جهت انجام عملیات احراز هویت دستگاه، سرور  $m$  بیت تصادفی را به عنوان یک چالش تولید و به دستگاه ارسال می‌کند (خط ۱) و در دستگاه یک عدد تکیتی تصادفی تولید می‌شود (خط ۳). همان طور که قللاً اشاره شد در مدل SQ-PUF، مازول‌های SQ می‌توانند فقط به برخی بیت‌های چالش اعمال شوند؛ بنابراین فقط بیت‌هایی از چالش ورودی که این مازول به آنها اعمال شده، تغییر می‌کنند. این تغییر در دو مرحله اتفاق می‌افتد: در ابتداء توسط فلیپ‌فلاب نوع D، وابستگی به چالش قبلی انجام می‌شود (خط ۴) و سپس خاصیت تصادفی بودن توسط گیت XOR و بیت تصادفی تولید شده در مرحله قبل به آن اضافه خواهد شد (خط ۵). خروجی "C" که چالش تعییریافته است به عنوان حالت اولیه به LFSR اعمال می‌شود (خط ۶). پس از این مرحله به تعداد بیت‌های مورد نیاز پاسخ ( $\alpha$  بیت) زیرمجموعه از چالش توسط LFSR تولید و به A-PUF داده می‌شود (خط ۸) و پاسخ تولید شده به سرور ارسال می‌گردد (خط ۱۰). استفاده از LFSR باعث کاهش منابع مصرفی در مدار می‌شود؛ اما برای تولید  $\alpha$  بیت پاسخ احتیاج به  $\alpha$  سیکل کلک داریم. در مواردی که محدودیت منابع داریم، این مدت زمان قابل پذیرش است.

در بخش سرور، اگر مازول‌های SQ در SQ-PUF مورد نظر فقط به برخی بیت‌های چالش ورودی اعمال شده باشند، اینجا هم دقیقاً باید روند تغییر چالش ورودی در دستگاه شبیه‌سازی شده و در سرور دقیقاً همان بیت‌های چالش تغییر داده شوند (خط ۱۴). مثلاً ۸۰٪ بیت‌ها برای بار اول در مرحله ثبت نام به صورت تصادفی انتخاب شده و مازول‌های SQ راه آنها می‌توانند قرار گیرند. پس از تغییر چالش، آن را با  $\oplus$  و  $\alpha$  XOR می‌کنیم (خط ۱۶). سپس پاسخ هر دو خروجی تولید شده توسط مدلی که در فاز ثبت نام آموزش داده شده بود، پیش‌بینی می‌شوند (خط ۱۷) و در



شکل ۵: مازول SQ

می‌شوند. به صرف وجود داشتن یک RNG یک‌بیتی، این مدار خاصیت تصادفی بودن خود را حفظ می‌کند و از این رو پاسخ هر چالش با توجه به چالش قبلی دارای دو جواب صحیح است. از آنجا که قبلاً کارهای زیادی برای طراحی RNG انجام گردیده [۳۱] تا [۳۳] و هدف ما طراحی یک مدل مقاوم در برابر حملات مدل‌سازی است، پس فرض می‌کنیم که یک RNG شایسته، بهینه و با پاسخ‌دهی دقیقاً پنجاهم‌پنجاه در این مدل استفاده شده است.

در مازول SQ که در شکل ۵ آمده، با استفاده از یک D فلیپ‌فلاب چالش را به حالت قبلی وابسته می‌کنیم و حالت اولیه را می‌توان صفر در نظر گرفت. در این بخش از یک XOR جهت تصادفی‌سازی چالش بهره می‌بریم. اگر عدد تصادفی تولید شده برابر یک باشد، چالش عکس می‌شود و در غیر این صورت بدون تغییر به خروجی انتقال می‌یابد. همچنین در این مازول به کمک یک مالتیپلکسر که فقط برای بار اول به آن دسترسی داریم (می‌توان آن را به صورت یک فیوز یک بار مصرف در نظر گرفت)، ارتباط مستقیمی بین چالش ورودی و PUF برقرار می‌شود؛ یعنی به واسطه این مالتیپلکسر می‌توان با نادیده‌گرفتن مازول‌های SQ هسته PUF دسترسی مستقیم داشت که به منظور آموزش سرور تعیین شده است.

### ۲-۳ مرحله ثبت نام

مراحل بخش ثبت نام فقط یک بار جهت شناسایی تابع داخلی PUF مورد نظر به سرور برای انجام احراز هویت انجام می‌شود. البته با توجه به موضوع سالخوردگی در وسایل الکترونیکی و تأثیر آن بر روی پاسخ‌های تولید شده، این مرحله می‌تواند هر چند وقت یک بار انجام شود [۳۴]. در این قسمت، سرور می‌تواند به بخش‌های خاصی نظری مالتیپلکسرهای داخلی دسترسی داشته باشد؛ اما پس از اتمام کار، این دسترسی‌ها از بین می‌روند که این عمل می‌تواند به صورت یک فیوز محقق شود. ابتداء سرور، تعداد  $N$  چالش را به صورت تصادفی تولید نموده و به PUF ارسال می‌کند که تعداد این چالش‌ها باید به اندازه کافی بزرگ باشند. در این فاز، SQ-PUF توسط مالتیپلکسرهای موجود در مازول SQ، دسترسی مستقیم چالش‌ها به Arbiter PUF را فراهم می‌کند. سپس به ازای هر چالش وارد شده برای تولید  $\alpha$  بیت پاسخ،  $\alpha$  بار زیرمجموعه‌های این چالش توسط LFSR تولید و به Arbiter PUF اعمال می‌شود. پاسخ‌های چالش تولید شده به سرور ارسال می‌گردد. بدین صورت در سرور، دسته‌ای از چالش-پاسخ‌های معین را داریم که مستقیماً توسط Arbiter PUF تولید شده‌اند. پس سرور می‌تواند توسط این دسته، مدلی را آموزش دهد تا این مدل، ابرصفحه جداول‌مند پاسخ‌ها را به ازای چالش‌ها با دقت بالایی پیدا کند و به عبارت دیگر، وابستگی بین چالش-پاسخ را با دقت بالایی آموزش بینند.

جدول ۱: بررسی مقاومت SQ-PUF (%) مازول (SQ) در برابر حملات.

	CRPs	LR	ANN
Poly-PUF [۲۶]	۱۰ <sup>۵</sup>	[۲۶] ۵۱٪-۹۷	[۲۴] ~۹۵٪*
OB-PUF [۲۸]	۲×۱۰ <sup>۵</sup>	[۲۴] ~۹۵٪	-
R-PUF (L2) [۲۷]	۱۰ <sup>۳</sup>	[۲۴] ~۸۵٪	-
SQ-PUF	۴×۱۰ <sup>۵</sup>	۵۲٪-۱۴	۵۲٪-۴

\* A pair of single-neuron networks

عصبی نمی‌تواند آن را مدل‌سازی کند و رفتار سیستم را تشخیص دهد. این نمودار نشان می‌دهد در صورتی که هیچ مازول SQ به PUF اضافه نشود، شبکه عصبی می‌تواند تا حدود ۹۸/۱۶٪ دقت به مدل حمله کند. به محض اضافه کردن مازول SQ به ۱۰٪ بیت‌های ورودی (در اینجا یعنی ۳ بیت از ۳۲ بیت)، دقت این حمله تا ۷۶/۱۶٪ کاهش یافته است؛ یعنی با اضافه کردن تنها سه مازول SQ به مدل PUF توانستیم مقاومت مدل را حدود ۲۶٪ افزایش دهیم. همان طور که در شکل ۶ مشخص است با اضافه کردن مازول SQ به ۸۰٪ بیت‌های ورودی (۲۵ بیت از ۳۲ بیت)، مدل PUF به مقاومت ۶۸/۴۵٪ می‌رسد که مقاومت خوبی به حساب می‌آید. پس در ادامه، شبیه‌سازی‌های خود را توسط مدل SQ-PUF با ۸۰٪ مازول SQ انجام می‌دهیم.

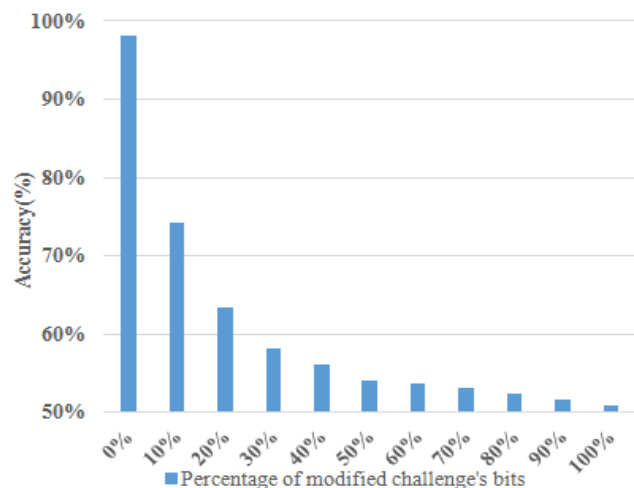
#### ۴- بررسی مقاومت SQ-PUF در برابر حملات

جدول ۱ بیانگر مقاومت مدل SQ-PUF با ۸۰٪ مازول SQ در برابر PUF دو روش مختلف از حملات پراستفاده در مقایسه با سایر مدل‌های است. همان طور که مشخص می‌باشد، مدل پیشنهادی در برابر این گونه از حملات مقاوم بوده و همچنین لازم به ذکر است که SQ-PUF توسط دیتاستی به اندازه ۱۰<sup>۵</sup> در تمامی روش‌ها مورد حمله قرار گرفته و نیز برای بررسی بیشتر، مدل پیشنهادی با روش SVM مورد ارزیابی قرار گرفت که دقت حمله در این روش هم از ۲۲/۵۰٪ فراتر نرفت. نتایج این جدول نشان می‌دهند که حمله به روش LR در مدل‌های OB-PUF [۲۱] و R-PUF [۲۷] با درصد بالایی موفق بوده است؛ اما این حمله در مدل پیشنهادی ما حتی با CRPs دو تا چهارصد برابر نیز توانسته موفق باشد. از طرف دیگر، اگرچه حمله به روش ANN در مدل Poly-PUF موفق بوده است با CRPs چهارباری در مدل پیشنهادی ما نتوانسته که موفق عمل کند. دلیل مقاومت بالای مدل پیشنهادی آن است که حملات مبتنی بر یادگیری ماشین قادر نیستند رابطه نزدیکی بین چالش‌ها پیدا کنند. این اتفاق به کمک مازول‌های SQ پیشنهادی رقم خورده که باعث تغییر چالش ورودی می‌شوند. توجه گردد که این تغییر، علاوه بر پاسخ قبلی بر اثر عدد تصادفی نیز ایجاد شده و بنابراین با استفاده از تغییر با زمان و تصادفی کردن چالش‌ها توانستیم رابطه چالش‌ها و پاسخ‌ها را پنهان نماییم.

#### ۴-۳- آنالیز یکنواختی در SQ-PUF

یکنواختی عبارت است از تناسب وجود صفرها و یکها در پاسخ‌های حاصل از PUF مورد نظر که ایده‌آل این معیار برابر ۵۰٪ می‌باشد و یکی از مهم‌ترین معیارها برای طراحی یک مدل PUF است و تعیین می‌کند که آیا صفر و یکها بین پاسخ‌ها به صورت یکنواخت توزیع شده است یا خیر.

جدول ۲ نتایج این آنالیز را نشان می‌دهد. برای محاسبه این مقدار برای مدل اصلی Arbiter PUF و مدل ارائه شده SQ-PUF از تعداد ۲×۱۰<sup>۵</sup>



شکل ۷: بررسی تأثیر تعداد مازول SQ بر مقاومت مدل در برابر حملات.

انتها حتماً باید پاسخ دریافت شده از SQ-PUF حداقل معادل یکی از پاسخ‌های پیش‌بینی شده باشد. این مرحله را با محاسبه فاصله همینگ بین آنها بررسی می‌کنیم (خطوط ۱۹ و ۲۰). پس از انجام روند احراز هویت، چالش تولیدی به عنوان C<sub>old</sub> در سورور ذخیره می‌شود (خط ۲۲) تا در نشست بعدی احراز هویت از آن استفاده گردد. در خط ۲۰، ۶ برابر صفر یا مقداری کم است که با توجه به نویز موجود در محیط می‌توان آن را محاسبه نمود. لازم به ذکر است که با توجه به وابستگی خروجی SQ-PUF به ترتیب چالش‌ها، اولین پاسخ را غیرمعتبر در نظر می‌گیریم (خط ۱۲) و از آن به بعد احراز هویت را انجام می‌دهیم. طبق این روند، وابستگی بین چالش-پاسخ تا حد زیادی از بین رفته و ارتباط بین آنها غیرقابل پیش‌بینی می‌شود.

#### ۴- نتایج

برای انجام شبیه‌سازی‌ها نیاز به پیدا کردن محدوده مقدار تأخیر مسیرها در PUF است. یکی از روش‌های موجود برای بررسی تغییرات ساخت، استفاده از شبیه‌سازی‌های پیاپی به صورت تصادفی با روش مونت‌کارلو در محدوده گوشش‌های مدار می‌باشد؛ لذا ابتدا یک Arbiter PUF با ۶۴ چالش ورودی و یک بیت پاسخ در نرم‌افزار Hspice پیاده‌سازی گردید. سپس به کمک الگوریتم مونت‌کارلو (در ۱۰۰۰ شبیه‌سازی)، این مدار از نظر تأثیر فرایند ساخت بر تأخیر مسیرهای مختلف مورد بررسی قرار گرفت که در بدترین حالت، مقادیر میانگین ۳/۵۲ پیکوثانیه و انحراف معیار ۱۱ پیکوثانیه به دست آمدند. در مدل سازی‌ها مقادیر تأخیر مسیرها با استفاده از یک توزیع نرمال در این محدوده تعیین شدند تا نزدیک‌ترین حالت به واقعیت شبیه‌سازی شود.

#### ۴- بررسی تأثیر تعداد مازول SQ

نمودار ارائه شده در شکل ۷، تأثیر میزان استفاده از مازول SQ در بیت‌های چالش را بر مقاومت مدل در برابر حملات یادگیری ماشین بیان می‌کند. این حملات توسط یک مدل ANN با چهار لایه به ترتیب ۲۰۰، ۱۰۰، ۸۰ و ۶۴ نورون انجام شده است. در لایه‌های مخفی این شبکه از تابع فعال‌ساز ReLu استفاده گردیده و لایه آخر دارای تابع فعال‌ساز Sigmoid می‌باشد که به وسیله دیتاستی به اندازه ۵×۱۰<sup>۵</sup> آموزش داده شده و با این حجم از داده می‌توان گفت که مقاومت کامل این مدل مورد بررسی قرار گرفته است. این نمودار نشان می‌دهد که با افزایش تعداد مازول‌های SQ، همبستگی مدل PUF کمتر شده و در نتیجه شبکه

جدول ۲: بررسی یکنواختی و یکتاپی مدل SQ-PUF

	تعداد بیت‌های چالش	تعداد بیت‌های پاسخ	تعداد CRP‌ها	یکنواختی (%)	یکتاپی (%)
PUF Arbiter	۶۴	۶۴	$2 \times 10^4$	۵۰,۵۴۷	۴۹,۱۹۷
RPUF	۶۴	۶۴	$1 \times 10^4$	۵۱,۱	۴۹,۷
SQ-PUF	۶۴	۶۴	$2 \times 10^4$	۵۰,۵۶۱	۴۹,۱۰۱

دارد.

## ۵- نتیجه‌گیری

این مقاله، یک روند جدید احراز هویت مبتنی بر PUF با نام SQ-PUF را پیشنهاد می‌کند. هدف اصلی در این کار پژوهشی، بهبود سازی رابطه بین جفت‌های چالش-پاسخ (CRP) برای دشوار کردن یا به تعویق انداختن فرایند مدل سازی یا پیش‌بینی پاسخ است که می‌تواند توسط مهاجم مورد سوءاستفاده قرار گیرد. بر این اساس با وابسته کردن چالش‌ها به یکدیگر، رابطه بین چالش-پاسخ‌ها را مبهم کردیم تا مهاجم نتواند وابستگی مربوط را پیش‌بینی کند. نتایج تجربی حاکی از آن است که حتی یک شبکه ANN پیچیده با مجموعه‌ای بزرگ از داده‌های چالش-پاسخ هم نمی‌تواند با دقت بیش از ۵۳٪ پاسخ‌ها را پیش‌بینی کند. با توجه به حملات مشابه به سایر PUF‌ها می‌توان گفت مدل ارائه شده به طور قابل توجهی دارای امنیت بیشتری است. علاوه بر این، یکنواختی و یکتاپی در این مدل تقریباً با مقدار ایده‌آل در Arbiter PUF یکسان باقی می‌ماند. این روش یک روند مناسب برای احراز هویت امن در دستگاه‌های IoT را فراهم می‌کند.

## مراجع

- [1] S. Hemavathy and V. S. Kanchana Bhaaskaran, "Arbiter PUF-a review of design, composition, and security aspects," *IEEE Access*, vol. 11, pp. 33979-34004, 2023.
- [2] A. Shamsoshoara, A. Korenda, F. Afghah, and S. Zeadally, "A survey on physical unclonable function (PUF)-based security solutions for internet of things," *Computer Networks*, vol. 183, Article ID: 107593, Dec. 2020.
- [3] H. Ning, F. Farha, A. Ullah, and L. Mao, "Physical unclonable function: architectures, applications and challenges for dependable security," *IET Circuits, Devices & Systems*, vol. 14, no. 4, pp. 407-424, Jul. 2020.
- [4] B. Gassend, D. Lim, D. Clarke, M. Van Dijk, and S. Devadas, "Identification and authentication of integrated circuits," *Concurrency Computation Practice and Experience*, vol. 16, no. 11, pp. 1077-1098, 2004.
- [5] J. W. Lee, *et al.*, "A technique to build a secret key in integrated circuits for identification and authentication applications," in *Proc. IEEE Symp. on VLSI Circuits, Digest of Technical Papers*, pp. 176-179, Honolulu, HI, USA, 17-19 Jun. 2004.
- [6] M. Majzoobi, F. Koushanfar, and M. Potkonjak, "Techniques for design and implementation of secure reconfigurable PUFs," *ACM Trans. Reconfigurable Technol Syst*, vol. 2, no. 1, Article ID: 5, 33 pp., Mar. 2009.
- [7] A. Ashtari, A. Shabani, and B. Alizadeh, "A new RF-PUF based authentication of internet of things using random forest classification," in *Proc. of 16th Int. ISC Conf. on Information Security and Cryptology, ISCISC'19*, pp. 21-26, Mashhad, Iran, 28-29 Aug. 2019.
- [8] B. Chatterjee, D. Das, and S. Sen, "RF-PUF: IoT security enhancement through authentication of wireless nodes using in-situ machine learning," in *Proc. of the IEEE Int. Sym. on Hardware Oriented Security and Trust, HOST'18*, pp. 205-208, May 2018.
- [9] G. E. Suh and S. Devadas, "Physical unclonable functions for device authentication and secret key generation," in *Proc. 44th ACM/IEEE Design Automation Conf.*, pp. 9-14, San Diego, CA, USA, 4-8 Jun. 2007.
- [10] P. K. Sadhu and V. P. Yanambaka, "MC-PUF: a robust lightweight controlled physical unclonable function for resource constrained environments," in *Proc. of IEEE Computer Society Annual*

جدول ۳: سربار سخت‌افزاری SQ-PUF در مقایسه با PUF متداول.

C (۶۴)-R (۶۴)	LUTs	FFs
Basic-PUF	۸۱۹۲	۶۴
LFSR	۳۴	۶۴
SQ-PUF PUF-۶۴-1bit	۱۲۸	۱
SQ-Module	۱	۱

چالش-پاسخ مختلف استفاده کردیم. همچنین درصد گزارش شده در جدول ۲ بر اساس تعداد یک‌ها نسبت به کل پاسخ‌ها می‌باشد و همان طور که از نتایج نیز مشخص است، مازول SQ تأثیر خاصی روی یکنواختی مقداری نمی‌گذارد.

## ۴- آنالیز یکتاپی در SQ-PUF

یکتاپی عبارت است از ارزیابی تفاوت پاسخ‌های تولیدشده توسط PUF‌های مختلف با اعمال یک چالش مشابه که یکی دیگر از معیارهای PUF هاست [۳۵]. همان‌طور که اثر انگشت هیچ دو فردی نمی‌تواند یکسان باشد، پاسخ مدل‌های مختلف PUF هم نباید به یک چالش یکسان باشد تا بتوان بر پایه آن، احراز هویت را به درستی انجام داد. مقدار ایده‌آل برای این معیار برابر ۵۰٪ می‌باشد و نتایج این آنالیز در جدول ۲ آمده است. با توجه به اینکه در SQ-PUF به ترتیب به ترتیب هستند، برای ارزیابی این معیار در هر مدل یکسان‌بودن ترتیب در تمام حالات رعایت شده است.

## ۵- سربار سخت‌افزاری

جدول ۳ سربار سخت‌افزاری بخش‌های مختلف یک مدل PUF را برای ۶۴ بیت چالش و پیاده‌سازی شده توسط FPGA نشان می‌دهد. این مدل شامل  $n$  مازول SQ و یک RNG است و از آنجا که معمولاً RNG در سیستم‌های الکترونیکی موجود می‌باشد، می‌توان از RNG موجود در سیستم استفاده کرد و سربار سخت‌افزاری برای آن متصور نشد. بنابراین سربار سخت‌افزاری به صورت  $(n \times (LUT + FF))$  محاسبه می‌شود؛ با توجه به اینکه برای پیاده‌سازی هر مازول SQ به یک LUT و یک FF (فلیپ‌فلاب) نیاز داریم.  $n$  تعداد مازول SQ استفاده شده در هر PUF را نشان می‌دهد. توجه شود که LFSR و PUF را سربار سخت‌افزاری نمی‌شماریم؛ زیرا در تمام مدل‌ها به آنها نیاز داریم. برای مقایسه بهتر، نتایج یک PUF متداول<sup>۱</sup> نیز در جدول آمده است.

نتایج، نشان‌دهنده مزیت استفاده از LFSR در مقایسه با روش متداول Hستند. البته با استفاده از LFSR و با انجام تعداد مشخص از زیر چالش‌ها با یک مدار، یک پاسخ را می‌سازیم که بسیار زمان برتر از روش متداول است. اگرچه در روش متداول سریع‌تر به پاسخ می‌رسیم، اما نیاز به منابع سخت‌افزاری بیشتری خواهیم داشت. مدل پیشنهادی ما از منظر انرژی با توجه به تعداد کم المان‌های داخل مازول‌های SQ (یک فلیپ‌فلاب نوع D و یک XOR)، برتری زیادی به روش‌های متداول بحث شده دارد.

1. Basic-PUF

- [26] S. T. C. Konigsmark, D. Chen, and M. D. F. Wong, "PolyPUF: physically secure self-divergence," *IEEE Trans. on Computer-Aided Design of Integrated Circuits and Systems*, vol. 35, no. 7, pp. 1053-1066, Jul. 2016.
- [27] J. Ye, Y. Hu, and X. Li, "RPUF: physical unclonable function with randomized challenge to resist modeling attack," in *Proc. of the IEEE Asian Hardware Oriented Security and Trust Symp., Asian HOST'16*, 6 pp., Yilan, Taiwan, 19-20 Dec. 2016.
- [28] Y. Gao, et al., "Obfuscated challenge-response: a secure lightweight authentication mechanism for PUF-based pervasive devices," in *Proc. IEEE Int. Conf. on Pervasive Computing and Communication Workshops, PerCom Workshops*, 6 pp., Sydney, Australia, 14-18 Mar. 2016.
- [29] G. T. Becker and R. Kumar, "Active and passive side-channel attacks on delay based PUF designs," *IACR Cryptology ePrint Archive*, vol. 2014, Article ID:287, 2014, [Online]. Available: <http://eprint.iacr.org/2014/287.pdf>
- [30] J. Shi, Y. Lu, and J. Zhang, "Approximation attacks on strong PUFs," *IEEE Trans. on Computer-Aided Design of Integrated Circuits and Systems*, vol. 39, no. 10, pp. 2128-2151, Oct. 2020.
- [31] I. G. Târsa, G. D. Budariu, and C. Grozea, "Study on a true random number generator design for FPGA," in *Proc. 8th Int. Conf. on Communications, COMM'10*, pp. 461-464, Bucharest, Romania, 10-12 Jun. 2010.
- [32] T. Arciuolo and K. M. Elleithy, "Parallel, true random number generator (P-TRNG): using parallelism for fast true random number generation in hardware," in *Proc. IEEE 11th Annual Computing and Communication Workshop and Conf., CCWC'21*, pp. 987-992, NV, USA, 27-30 Jan. 2021.
- [33] R. S. Durga, et al., "Design and synthesis of LFSR based random number generator," in *Proc. of the 3rd Int. Conf. on Smart Systems and Inventive Technology, ICSSIT*, pp. 438-442, Tirunelveli, India, 20-22 Aug. 2020.
- [34] A. Maiti and P. Schaumont, "The impact of aging on a physical unclonable function," *IEEE Trans. Very Large Scale Integr VLSI Syst*, vol. 22, no. 9, pp. 1854-1864, Sept. 2014.
- [35] R. L. Sembiring, R. R. Pahlevi, and P. Sukarno, "Randomness, uniqueness, and steadiness evaluation of physical unclonable functions," in *Proc. 9th Int. Conf. on Information and Communication Technology, ICoICT'2021*, pp. 429-433, Yogyakarta, Indonesia, 3-5 Aug. 2021.

**سید ابوالفضل سجادی هزاوه** مدرک کارشناسی مهندسی برق-الکترونیک را در سال ۱۳۹۷ از دانشگاه مهاجر اصفهان اخذ نمود و توانست در سال ۱۴۰۰ در دانشگاه تهران، مقطع کارشناسی ارشد خود را در رشته مهندسی برق-سیستم‌های الکترونیک دیجیتال را به پایان برساند و هم‌اکنون در دانشگاه لایدن هلند در حال گذراندن دوره دکتری در حوزه امنیت سخت‌افزار است. زمینه‌های تحقیقاتی مورد علاقه ایشان امنیت سخت‌افزار، شتاب‌دهنده‌های سخت‌افزاری و شبکه‌های عصبی عمیق می‌باشد.

**بیژن علیزاده** مدرک دکتری خود را در رشته مهندسی برق و کامپیوتر از دانشگاه تهران در سال ۱۳۸۳ دریافت کرد و از سال ۱۳۸۴ تا ۱۳۸۶ در دانشگاه صنعتی شریف به عنوان استادیار و از سال ۱۳۸۶ تا ۱۳۸۹ در VDEC دانشگاه توکیو به عنوان دانشیار پژوهشی فعالیت نمود. وی از سال ۱۳۹۰ به دانشکده مهندسی برق و کامپیوتر دانشگاه تهران پیوست و در حال حاضر، دانشیار این دانشکده است. وی بیش از ۱۳۰ مقاله در مجلات و کنفرانس‌های علمی بین‌المللی تألیف کرده و زمینه‌های تحقیقاتی او، توسعه ابزار EDA در سیستم‌های VLSI، طراحی سیستم‌های نهفته مبتنی بر FPGA، درستی سنجی و عیوب‌یابی در سیستم‌های دیجیتال، امنیت سخت‌افزاری و سنتز سطح بالا است.

- [36] Symposium on VLSI, ISVLSI'22, pp. 452-453, Nicosia, Cyprus, 4-6 Jul. 2022.
- [11] M. H. Ishak, M. S. Mispan, W. Y. Chiew, M. R. Kamaruddin, and M. A. Korobkov, "Secure lightweight obfuscated delay-based physical unclonable function design on FPGA," *Bulletin of Electrical Engineering and Informatics*, vol. 11, no. 2, pp. 1075-1083, Apr. 2022.
- [12] S. Abdolinezhad and A. Sikora, "A lightweight mutual authentication protocol based on physical unclonable functions," in *Proc. of the IEEE Int. Symp. on Hardware Oriented Security and Trust, HOST'22*, pp. 161-164, McLean, VA, USA, 27-30 2022.
- [13] A. Vijayakumar and S. Kundu, "A novel modeling attack resistant PUF design based on non-linear voltage transfer characteristics," in *Proc. Design, Automation and Test in Europe, DATE'15*, pp. 653-658, Grenoble, France, 9-13 Mar. Apr. 2015.
- [14] M. Majzoobi, F. Koushanfar, and M. Potkonjak, "Lightweight secure PUFs," in *Proc. IEEE/ACM Int. Conf. on Computer-Aided Design, Digest of Technical Papers, ICCAD'08*, pp. 670-673, San Jose, CA, USA, 10-13 Nov. 2008.
- [15] D. P. Sahoo, S. Saha, D. Mukhopadhyay, R. S. Chakraborty, and H. Kapoor, "Composite PUF: a new design paradigm for physically unclonable functions on FPGA," in *Proc. of the IEEE Int. Symp. on Hardware-Oriented Security and Trust, HOST'14*, pp. 50-55, Arlington, VA, USA, 6-7 May 2014.
- [16] D. E. Holcomb, W. Burleson, and K. Fu, Initial SRAM State as a Fingerprint and Source of True Random Numbers for RFID tags, 2007.
- [17] P. Tuyls, et al., "Read-proof hardware from protective coatings," in Lecture Notes in Computer Science (including subseries Lecture Notes in Artificial Intelligence and Lecture Notes in Bioinformatics), Springer Verlag, pp. 369-383, Oct. 2006.
- [18] M. Sauer, P. Raiola, L. Feiten, B. Becker, U. Rührmair, and I. Polian, "Sensitized path PUF: a lightweight embedded physical unclonable function," in *Proc. of the Design, Automation and Test in Europe, DATE'17*, pp. 680-685, Lausanne, Switzerland, 27-31 Mar. 2017.
- [19] D. Canaday, W. A. S. Barbosa, and A. Pomerance, "A novel attack on machine-learning resistant physical unclonable functions," in *Proc. of the IEEE Int. Symp. on Hardware Oriented Security and Trust, HOST'22*, pp. 25-28, McLean, VA, USA, 27-30 Jun. 2022.
- [20] J. Ye, Q. Guo, Y. Hu, H. Li, and X. Li, "Modeling attacks on strong physical unclonable functions strengthened by random number and weak PUF," in *Proc. of the IEEE VLSI Test Symposium, Computer Society*, 6 pp., San Francisco, CA, USA, 22-25 Apr. 2018.
- [21] U. Rührmair and J. Söller, "PUF modeling attacks: an introduction and overview," in *Proc. Design, Automation and Test in Europe, DATE'14*, 6 pp., Dresden, Germany, 24-28 Mar. 2014.
- [22] Y. Wen and Y. Lao, "PUF modeling attack using active learning," in *Proc. IEEE Int. Symp. on Circuits and Systems*, 5 pp., Florence, Italy, 27-30 May 2018.
- [23] J. Delvaux, "Security analysis of PUF-based key generation and entity authentication-KU Leuven," KU Leuven and Shanghai Jiao Tong University, 2017. Accessed: Aug. 26, 2021. [Online]. Available: [https://limo.libis.be/primo-explore/fulldisplay?docid=LIRIAS1662341&context=L&vid=Lirias&search\\_scope=Lirias&tab=default\\_tab&lang=en\\_US&fromSitema p=1](https://limo.libis.be/primo-explore/fulldisplay?docid=LIRIAS1662341&context=L&vid=Lirias&search_scope=Lirias&tab=default_tab&lang=en_US&fromSitema p=1)
- [24] J. Delvaux, "Machine-learning attacks on PolyPUFs, OB-PUFs, RPUFs, LHS-PUFs, and PUF-FSMs," *IEEE Trans. on Information Forensics and Security*, vol. 14, no. 8, pp. 2043-2058, Aug. 2019.
- [25] M. Majzoobi, M. Rostami, F. Koushanfar, D. S. Wallach, and S. Devadas, "Slender PUF protocol: a lightweight, robust, and secure authentication by substring matching," in *Proc. IEEE CS Security and Privacy Workshops, SPW'12*, pp. 33-44, San Francisco, CA, USA, 24-25 May 2012.